

Polarizace

(1)

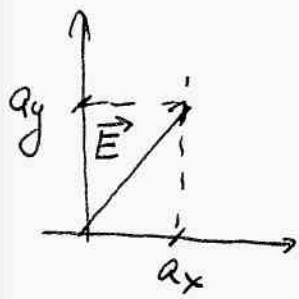
Výsledek je charakter vlnky \vec{E} ~ bodě prostoru
při proměně t až za tečku původního

→ Svetlo je popsat pomocí vlnou sítící
se ve směru \vec{k}

$$\vec{R} = (0, 0, z)$$

\vec{k} může mít jinou, že $\vec{E} \perp \vec{k}$

V mnoha případech může vlna \vec{E} mít
v rovině x, y . $\vec{k}_z = 0$



$$\tilde{E}_x = a_x e^{i(kz - \omega t + \delta_x)}$$

$$\tilde{E}_y = a_y e^{i(kz - \omega t + \delta_y)}$$

$$\text{Obratné faktory: } \varphi = kz - \omega t + \delta_x$$

$$\delta = \delta_y - \delta_x$$

$$\begin{aligned} \tilde{E}_x &= a_x e^{i\varphi} \\ \tilde{E}_y &= a_y e^{i(\varphi + \delta)} \end{aligned} \Rightarrow \frac{\tilde{E}_x}{a_x} = e^{i\varphi} \quad \frac{\tilde{E}_y}{a_y} = e^{i(\varphi + \delta)}$$

$$\begin{aligned} \frac{E_x}{a_x} &= \operatorname{Re} \left\{ \frac{\tilde{E}_x}{a_x} \right\} = \cos \varphi & \frac{E_y}{a_y} &= \operatorname{Re} \left\{ \frac{\tilde{E}_y}{a_y} \right\} = \cos(\varphi + \delta) \\ &= \cos \varphi \cos \delta - \sin \varphi \sin \delta \end{aligned}$$

$$\frac{E_y}{a_y} = \frac{E_x}{a_x} \cos \delta - \sqrt{1 - \left(\frac{E_x}{a_x} \right)^2} \sin \delta$$

$$\frac{E_y}{a_y} - \frac{E_x}{a_x} \cos \delta = - \sqrt{1 - \left(\frac{E_x}{a_x}\right)^2 \sin^2 \delta}$$

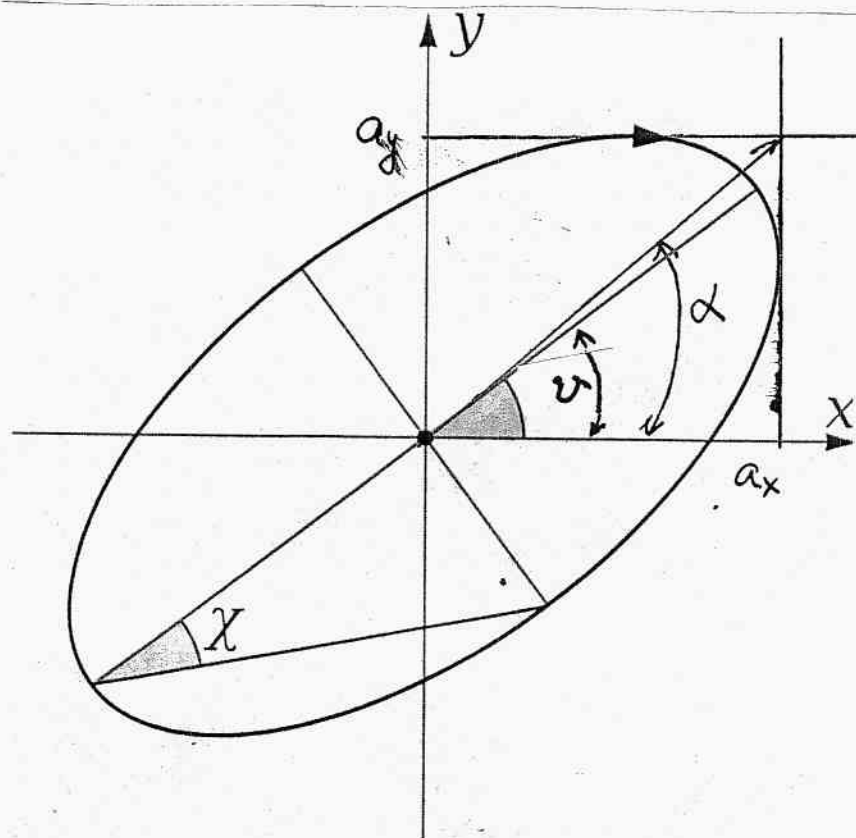
Kole2

$$\left(\frac{E_y}{a_y}\right)^2 - \frac{2E_x E_y}{a_x a_y} \cos \delta + \left(\frac{E_x}{a_x}\right)^2 \cos^2 \delta = \left(1 - \left(\frac{E_x}{a_x}\right)^2\right) \sin^2 \delta$$

$$\left(\frac{E_x}{a_x}\right)^2 \underbrace{\left(\sin^2 \delta + \cos^2 \delta\right)}_1 - \frac{2E_x E_y}{a_x a_y} \cos \delta + \left(\frac{E_y}{a_y}\right)^2 = \sin^2 \delta$$

Medna' se v rovnici elipsy moci' o uhel ν .
Lze videt, ze platí

$$\tan 2\nu = \frac{2a_x a_y}{a_x^2 - a_y^2} \cos \delta$$



Počátkem o uhel $\nu \rightarrow$ do daného $\nu = 0$, $\tan 2\nu = 0$

$$\delta = (2k-1)\frac{\pi}{2} \Rightarrow \left(\frac{E_x}{a_x}\right)^2 + \left(\frac{E_y}{a_y}\right)^2 = 1$$

Dalej platí $\operatorname{tg} \chi = \pm \frac{b}{a}$ $\operatorname{tg} \delta = \frac{a_y}{a_x}$

Poč. 3

v ... otocení (náklon), $0 \leq \alpha \leq \frac{\pi}{2}$
 x ... elipticitu $-\frac{\pi}{4} \leq \chi \leq \frac{\pi}{4}$
 a, b ... poloosy

Dalej platí

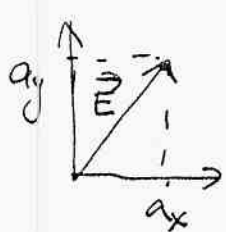
$$\sin 2\chi = \frac{2a_x a_y}{a_x^2 - a_y^2} \sin \delta$$

Zvláštní pravidlo eliptické polarizace

a) $\delta = 0 \Rightarrow \sin \delta = 0 \quad \cos \delta = 1$

$$\Rightarrow \sin 2\chi = 0, \chi = 0, \operatorname{tg} \chi = 0, b = 0$$

\Rightarrow elipsa se zvětší na kružnici



$$E_x = R_e \{ \tilde{E}_x \} = a_x \cos(kz - wt)$$

$$E_y = R_e \{ \tilde{E}_y \} = a_y \cos(kz - wt)$$

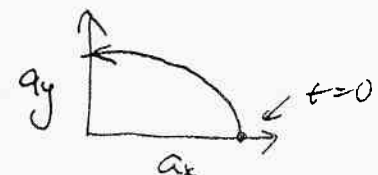
Obrázek znázorňuje vlnu s lineárně polarizovanou

b) $\delta = \frac{\pi}{2}$ $E_x = a_x \cos(kz - wt)$
 $E_y = a_y \cos(kz - wt + \frac{\pi}{2})$
 oz. $kz - wt = \varphi$

Příklad. $z=0, t=0$

$$E_x = a_x$$

$$E_y = 0$$



$\delta = 0, t = \frac{T}{4}$

$$E_x = a_x \cos(-\frac{2\pi}{T} \cdot \frac{T}{4}) = 0$$

$$E_y = a_y \cos(-\frac{\pi}{2} + \frac{\pi}{2}) = a_y$$

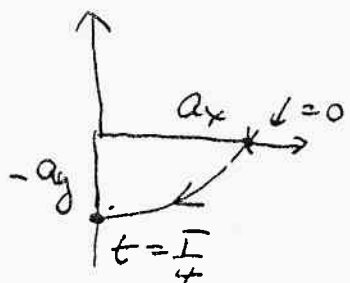
Medna' se o levoširovou elipticky polarizovanou vlnou ⁴
 V případě $a_x = a_y$ je to o levoširovou, dvojline-

polarizovanou vlnou

Podobně $\delta = -\frac{\pi}{2}$

V Case $t = \frac{T}{4}$

$$E_x = a_x \cos \left(-\frac{2\pi}{T} \cdot \frac{T}{4} \right) = 0$$



$$E_y = a_y \cos \left(-\frac{\pi}{2} - \frac{\pi}{2} \right) = \\ = a_y \cos(-\pi) = a_y \cos \pi = -a_y$$

Medna' se o pravosirovou vlnou
 To platí pro němečtový zápis
 rovinové vlny

$$\vec{E} = \vec{E}_0 e^{i(kz - \omega t + \delta)}, \quad \vec{E}_0 = (a_x, a_y)$$

Polarizace světelných zdrojů

Pol 5

1) Monochromatická rovina vlny

1 frekvence, $\omega \approx \nu$ prostor a čas

Její polarizace je výplně určena - musí být vždy polarizovaná

2) Zářovka



kmity 1 atomy = 1 vlna

trvaní ~ 10 ns

Kohärenční délka λ_k od 1 atomy ... 3 m

(zářovka) fáz. me molekulami

Ale od jednotlivých

atomů se vlny sčítají

$$\lambda_k = c \cdot \Delta t = 3 \times 10^8 \times 10^{-8} = 3 \text{ m}$$

... fakticky reálné $\lambda_k = 1 \mu\text{m}$

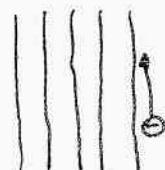
Jednotlivé atomy sčítají s náhodnými pozátečními fázemi, tj. nekoharentně

3) Laserové světlo ... typicky $\lambda_k = 300 \text{ nm}$

Polarizační zařízení

- je to zařízení umožňující vytvořit a kontrolovat polarizaci

Polarizátor ... např. draftek



Vlny EM vlny se ne směrují

|| s draftek rozdělují elektrony ~ kova

Draftek je absorpcí zahánění (Yukovo teflo)

(E_{\parallel} se absorbuje)

Ve směru \vec{E} má držák elektrony emisii Pol. e
nemohou, tedy E projde

Stejný princip ... polaroid - organické molekuly
prostřené v 1 směru - podél nej se může
šířit náboj - dochází k absorci

(= absorvní polarizační zákon na
dichroismu)

Dalsí možnost ... prodloužené meničnice
stříbra ulovené na sklo

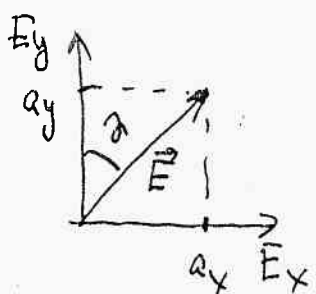
Polarizace nepolarizovaného světla

Nepolarizované záření - všechny směry lineárních
polarizací jsou za stoupající stejné. Ostatní polarizace
je na lineární rozdíl

Intenzita před polarizátorem I_0

úhel φ mezi směrem polarizátora - \vec{E}

Předpokládáme, že kmitosměr polarizátoru je y



Polarizační propustnost sluneční

$$E_0 \cos \varphi$$

Intenzita světla po průchodu polarizátorem

$$I_p = \frac{1}{2} \epsilon_0 c E_0^2 \cos^2 \varphi = I_0 \cos^2 \varphi$$

rot. 4

V případě nepolosoumeneho záření degradace na polarizátor záření pro určení úhlu β , $\beta \in (0, 2\pi)$

$$\begin{aligned} I_p &= \frac{1}{2\pi} \int_0^{2\pi} I_0 \cos^2 \beta d\beta = \frac{I_0}{2\pi} \cdot \int_0^{2\pi} \cos^2 \beta d\beta = \\ &= \frac{I_0}{2\pi} \int_0^{2\pi} \frac{1 + \cos 2\beta}{2} d\beta = \frac{I_0}{2\pi} \cdot \left[\frac{\beta}{2} \right]_0^{2\pi} + 0 = \\ &= \frac{I_0}{2} \end{aligned}$$

Polarizátor vzdály projekce 1/2 degraduje světlo

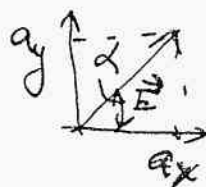
Počet polarizační slunci pomocí sinesových metod

Vratime se k obecnemu vysvětleniu

$$\tilde{E}_x = \alpha_x e^{i(kz - \omega t + \delta_x)} = \alpha_x e^{i\delta_x} e^{i\omega t} \quad \omega = kz - \omega t$$

$$\tilde{E}_y = \alpha_y e^{i\delta_y} e^{i\omega t}$$

$$\operatorname{tg} \alpha = \frac{\alpha_y}{\alpha_x} = \frac{\sin \alpha}{\cos \alpha}$$



$$\sin \alpha = \frac{|\alpha_y|}{\sqrt{|\alpha_x|^2 + |\alpha_y|^2}} \quad \cos \alpha = \frac{|\alpha_x|}{\sqrt{|\alpha_x|^2 + |\alpha_y|^2}}$$

$$\tilde{E}_x = \frac{\alpha_y}{\sin \alpha} \cdot \cos \alpha e^{i\delta_x} e^{i\omega t} = \sqrt{|\alpha_x|^2 + |\alpha_y|^2} \cos \alpha e^{i\delta_x} e^{i\omega t}$$

$$\tilde{E}_y = \frac{\alpha_y}{\sin \alpha} \cdot \sin \alpha e^{i\delta_y} e^{i\omega t} = \sqrt{|\alpha_x|^2 + |\alpha_y|^2} \sin \alpha e^{i\delta_y} e^{i\omega t}$$

$$\tilde{E} = \underbrace{\frac{q_y}{\sin \alpha} e^{i\delta x}}_{\text{Eff}} \begin{pmatrix} \cos \alpha \\ \sin \alpha e^{i\delta} \end{pmatrix} e^{i\omega t}$$

$$\tilde{E}_{\text{eff}} \quad \delta = \delta_y - \delta_x$$

$$\tilde{E} = \tilde{E}_{\text{eff}} \cdot \tilde{J} e^{i\omega t}$$

$\tilde{J} \dots$ Greco vector

Pri'elody Jonesovych vektor

1) Linearné polarizaci' vlny, $\delta=0$

$$\tilde{J} = \begin{pmatrix} \cos \alpha \\ \sin \alpha \end{pmatrix} \quad \alpha = 0 \quad \tilde{J} = \begin{pmatrix} 1 \\ 0 \end{pmatrix}$$

$$\alpha = \frac{\pi}{2} \quad \tilde{J} = \begin{pmatrix} 0 \\ 1 \end{pmatrix}$$

$$2) \quad \delta = \frac{\pi}{2} \quad \tilde{J} = \begin{pmatrix} \cos \alpha \\ \sin \alpha e^{i\frac{\pi}{2}} \end{pmatrix} = \begin{pmatrix} \cos \alpha \\ i \sin \alpha \end{pmatrix}$$

$$\operatorname{tg} \alpha = \frac{q_y}{q_x}$$

Nyní triline elektrik' píched $q_x = q_y = E_0$

$$\Rightarrow \operatorname{tg} \alpha = 1 \quad \alpha = \frac{\pi}{4} \quad \cos \frac{\pi}{4} = \sin \frac{\pi}{4} = \frac{1}{\sqrt{2}}$$

$$\tilde{J} = \frac{1}{\sqrt{2}} \begin{pmatrix} 1 \\ i \end{pmatrix}$$

Gibkov' zaxis vlny

$$\tilde{E} = \tilde{E}_{\text{eff}} \cdot \tilde{J} e^{i(kz - \omega t)} \quad \tilde{E}_{\text{eff}} = E_0 \cdot \sqrt{2}$$

$$\tilde{E} = E_0 \cdot \sqrt{2} \frac{1}{\sqrt{2}} \begin{pmatrix} 1 \\ i \end{pmatrix} e^{i(kz - \omega t)}$$

$$\tilde{E}_x = E_0 \underbrace{\cos}_{\tau} (kz - \omega t) + i \underbrace{\sin}_{\sigma} (kz - \omega t)$$

Rot. g

$$\hat{E}_y = E_0 (\cos \varphi - i \sin \varphi) \quad (\text{i.e. } i = -1)$$

Hod. 9

$$E_x = \operatorname{Re} \{\hat{E}_x\} = E_0 \cos(\omega t - \varphi)$$

$$E_y = \operatorname{Re} \{\hat{E}_y\} = -E_0 \sin(\omega t - \varphi)$$

$$Z=0$$

$$E_x = E_0$$

$$t=0$$

$$E_y = 0$$

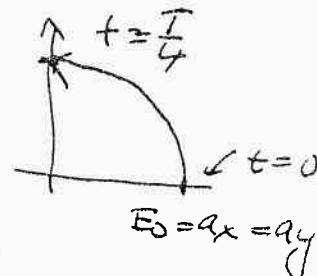
$$Z=0$$

$$t = \frac{T}{4}$$

$$E_x = E_0 \cos\left(-\frac{2\pi}{T} \cdot \frac{T}{4}\right) = 0$$

$$E_y = -E_0 \sin\left(-\frac{2\pi}{T} \cdot \frac{T}{4}\right) =$$

$$= +E_0 \sin \frac{\pi}{2} = E_0$$



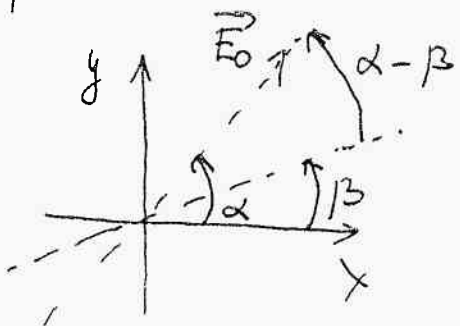
Jednačka je levotočivá, směr polarizace vlny

Popis polarizátora pomocí Lorentzové funkce

Polarizátor - propočítá pramen \vec{E} do určitého směru
(směr směr polarizátora)

α ... směr polarizace světla vstupujícího do polarizátora

β ... směr směr polarizátora

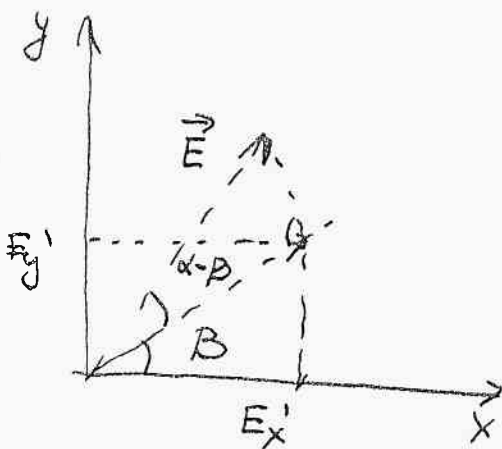


$$\vec{I}_{IN} = \begin{pmatrix} \cos \alpha \\ \sin \alpha \end{pmatrix}$$

.. výsledek vlny LD
směr vstupujícího do polarizátora

Vstupující lineární polarizované záření / Pol. 10

$$\vec{E} = E_0 \left(\begin{matrix} \cos \alpha \\ \sin \alpha \end{matrix} \right) e^{i(kz - \omega t)}$$



Převod do kvádrického polaryzátora

$$\begin{aligned} \vec{E}' &= E_0 \underbrace{\cos(\alpha - \beta)}_{E_0'} \left(\begin{matrix} \cos \beta \\ \sin \beta \end{matrix} \right) e^{i(kz - \omega t)} = \\ &= E_0' \cos(\alpha - \beta) \cdot \left(\begin{matrix} \cos \beta \\ \sin \beta \end{matrix} \right) e^{i(kz - \omega t)} = \end{aligned}$$

$$E_x' = E_0 (\cos \alpha \cos^2 \beta + \sin \alpha \sin \beta \cos \beta) e^{i(kz - \omega t)}$$

$$E_y' = E_0 (\cos \alpha \sin \beta \cos \beta + \sin \alpha \sin^2 \beta) e^{i(kz - \omega t)}$$

$$\vec{E}' = \begin{pmatrix} E_x' \\ E_y' \end{pmatrix} = E_0 \begin{pmatrix} \cos^2 \beta & \sin \beta \cos \beta \\ \sin \beta \cos \beta & \sin^2 \beta \end{pmatrix} \cdot \begin{pmatrix} \cos \alpha \\ \sin \alpha \end{pmatrix} e^{i(kz - \omega t)}$$

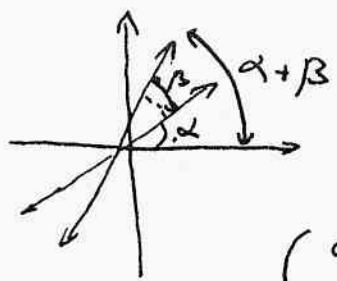
$$= \begin{pmatrix} \cos^2 \beta & \sin \beta \cos \beta \\ \sin \beta \cos \beta & \sin^2 \beta \end{pmatrix} \cdot \vec{E} = T \cdot \vec{E}$$

$$\vec{E} = E_0 \left(\begin{matrix} \cos \alpha \\ \sin \alpha \end{matrix} \right) \quad \text{Vstupující LP záření'}$$

\Rightarrow ... Goniometrické formule

Rotator - static rotating polarizace o uhel β

(10g)



$$\begin{pmatrix} \cos(\alpha+\beta) \\ \sin(\alpha+\beta) \end{pmatrix} = \begin{pmatrix} a & b \\ c & d \end{pmatrix} \cdot \begin{pmatrix} \cos\alpha \\ \sin\alpha \end{pmatrix}$$

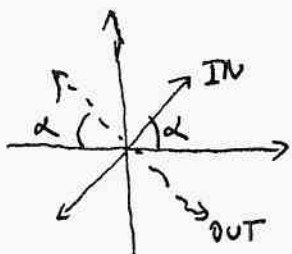
$$\begin{pmatrix} a & b \\ c & d \end{pmatrix} = \begin{pmatrix} \cos\beta & -\sin\beta \\ \sin\beta & \cos\beta \end{pmatrix}$$

Přesobem' polohue' došický no lineární polarizované' smělo

$$T = \begin{pmatrix} 1 & 0 \\ 0 & e^{i\varphi} \end{pmatrix} = \begin{pmatrix} 1 & 0 \\ 0 & -1 \end{pmatrix} \quad \varphi = \pi$$

$$e^{i\pi} = \cos\pi + i\sin\pi = -1$$

$$\vec{\mathbb{J}}_{IN} = \begin{pmatrix} \cos\alpha \\ \sin\alpha \end{pmatrix} \quad \vec{\mathbb{J}}_{out} = \begin{pmatrix} 1 & 0 \\ 0 & -1 \end{pmatrix} \cdot \begin{pmatrix} \cos\alpha \\ \sin\alpha \end{pmatrix} = \begin{pmatrix} \cos\alpha \\ -\sin\alpha \end{pmatrix}$$



Na výstupu směly otočené
o $\pi - 2\alpha$, tj. symetricky
vůči osi y.

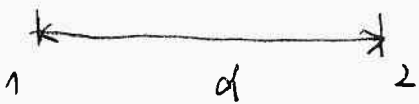
Základ fázové sítěním

(1)

Vakuu $\vec{E} = \vec{E}_0 e^{i(kz - \omega t + \delta)}$

$$k_0 = \frac{2\pi}{\lambda_0}$$

Vlna sítění se ve směru z



$$(\vec{E})_1 = \vec{E}_0 e^{i(k_0 z_1 - \omega t + \delta)}$$

$$(\vec{E})_2 = \vec{E}_0 e^{i(k_0(z_1+d) - \omega t + \delta)}$$

$$\frac{(\vec{E})_2}{(\vec{E})_1} = e^{i k_0 d} = e^{i \frac{2\pi}{\lambda_0} \cdot d}$$

? druhé ve vlnce

k_0 = indexem lomu n

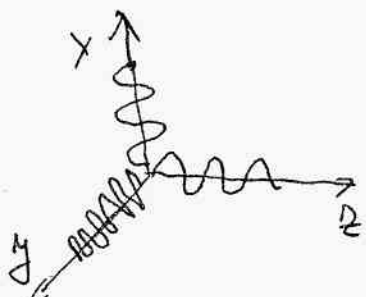
$$k = \frac{2\pi}{\lambda} = \frac{2\pi}{\lambda_0} \cdot n$$

$$\frac{(\vec{E})_2}{(\vec{E})_1} = e^{i k d} = e^{i \frac{2\pi}{\lambda_0} \cdot n d}$$

optické dřevo

Fázova' destruktia

Destruktia je dvojilomku'ho materiála vyznačená tím, že se u něj objeví směrnice lineární polarizace vyskytující různé' indexy lomu



$$F_x = F_z < F_y$$

Purkinjé' model

Vlna, kterou má se sítíla na surovou osu y
 má se sítíla s indexem lomu $n_x = n_2 = \frac{c}{v_2}$,

fj. stejnou rychlosť bez ohľadu na orientač.

\vec{E} v smere x_2 . Smer y = tr. osa' osa

V nasäc pôsobí preťaženie, že sa vlna
 sítí na surovu z.

Kmita - li vektor \vec{E} na surovu x, sítí a rychlosť

$$n_1 = \frac{c}{v_x} \quad \text{--. mňeh fáze } e^{i k_0 n_x d}$$

kmita - li na surovu y, sítí a s indexom
 lomu $n_y = \frac{c}{v_2}$, mňeh fáze $e^{i k_0 n_y d}$

V nasäc pôsobí $F_y > F_x$, pôsobí

$n_1 > n_2$. Osu x pôsobí smer. rýchlosť
 osu.

$$\begin{pmatrix} \tilde{E}_{2x} \\ \tilde{E}_{2y} \end{pmatrix} = \underbrace{\begin{pmatrix} e^{i k_0 n_x d} & 0 \\ 0 & e^{i k_0 n_y d} \end{pmatrix}}_{\text{Yosasa matice fázového dočerpávania}} \cdot \begin{pmatrix} E_{1x} \\ E_{1y} \end{pmatrix}$$

Yosasa matice fázového
 dočerpávania

$$\begin{pmatrix} e^{i k_0 n_x d} & 0 \\ 0 & e^{i k_0 n_y d} \end{pmatrix} = \begin{pmatrix} e^{i \varphi_x} & 0 \\ 0 & e^{i \varphi_y} \end{pmatrix} = e^{i \varphi_x} \begin{pmatrix} 1 & 0 \\ 0 & e^{i \varphi_y} \end{pmatrix}$$

$$\varphi = \varphi_y - \varphi_x$$

Poč. 12
 Pro polarizačního destrukčního modelu $\gamma = \gamma_y - \gamma_x$. Faktor $e^{i\gamma_x}$ neznamená délkou vlny.

Zobecnění principu

$$\gamma = \gamma_y - \gamma_x = \frac{\pi}{2} \Leftrightarrow \text{rotace optického vrstev} \frac{1}{4}$$

pro čtvrtvlnu destrukční

$$e^{i\gamma} = e^{i\frac{\pi}{2}} = \cos \frac{\pi}{2} + i \sin \frac{\pi}{2} = i$$

$$T = \begin{pmatrix} 1 & 0 \\ 0 & i \end{pmatrix} \quad \therefore \text{matice čtvrtvlny destrukční}$$

$$T \cdot \begin{pmatrix} 1 \\ 0 \end{pmatrix} = \begin{pmatrix} 1 \\ 0 \end{pmatrix}$$

$$T_{\overline{B}2}^1 \begin{pmatrix} 1 \\ 1 \end{pmatrix} = \begin{pmatrix} 1 \\ i \end{pmatrix}$$

$$\xrightarrow{\text{Dop.}} \xrightarrow{\lambda} \xrightarrow{\text{LCP}} \odot$$

$$T_{\overline{B}2}^1 \begin{pmatrix} 1 \\ -1 \end{pmatrix} = \begin{pmatrix} 1 \\ -i \end{pmatrix}$$

$$\xrightarrow{\text{Dop.}} \xrightarrow{\lambda} \xrightarrow{\text{RCP}} \odot$$

LCP ... levotočivá strukturní polarizace vlny

RCP ... pravotočivá strukturní polarizace vlny

$$T_{\overline{B}2}^1 \begin{pmatrix} 1 \\ i \end{pmatrix} = \begin{pmatrix} 1 & 0 \\ 0 & i \end{pmatrix} \cdot \begin{pmatrix} 1 \\ i \end{pmatrix} = \begin{pmatrix} 1 \\ -1 \end{pmatrix} \quad \odot \xrightarrow{\lambda} \xrightarrow{\text{LCP}} \odot$$

$$T_{\overline{B}2}^1 \begin{pmatrix} 1 \\ -i \end{pmatrix} = \begin{pmatrix} 1 & 0 \\ 0 & -i \end{pmatrix} \cdot \begin{pmatrix} 1 \\ -i \end{pmatrix} = \begin{pmatrix} 1 \\ 1 \end{pmatrix} \quad \odot \xrightarrow{\lambda} \xrightarrow{\text{RCP}} \odot$$

$\gamma = \pi \Leftrightarrow$ rödel optisch dreh $\frac{\lambda}{2}$ vor. 43

$$T = \begin{pmatrix} 1 & 0 \\ 0 & e^{i\pi} \end{pmatrix} = \begin{pmatrix} 1 & 0 \\ 0 & -1 \end{pmatrix}$$

$$T \cdot \begin{pmatrix} 1 \\ 0 \end{pmatrix} = \begin{pmatrix} 1 \\ 0 \end{pmatrix} \quad \uparrow \rightarrow \boxed{\frac{\lambda}{2}} \Rightarrow \downarrow$$

$$T \frac{1}{\sqrt{2}} \begin{pmatrix} 1 \\ 1 \end{pmatrix} = \frac{1}{\sqrt{2}} \begin{pmatrix} 1 \\ -1 \end{pmatrix} \quad \uparrow \rightarrow \boxed{\frac{\lambda}{2}} \rightarrow \nwarrow$$

$\frac{\lambda}{2}$

Oberne

$$T \begin{pmatrix} \cos \alpha \\ \sin \alpha \end{pmatrix} = \begin{pmatrix} \cos \alpha \\ -\sin \alpha \end{pmatrix} \quad \cancel{\uparrow \rightarrow \boxed{\frac{\lambda}{2}}} \rightarrow \cancel{\leftarrow \nwarrow}$$

f. notice $\circ \pi - 2\alpha$

$$T \frac{1}{\sqrt{2}} \begin{pmatrix} 1 \\ -1 \end{pmatrix} = \frac{1}{\sqrt{2}} \begin{pmatrix} 1 \\ i \end{pmatrix} \quad \text{RCP} \rightarrow \boxed{\frac{\lambda}{2}} \rightarrow \text{LCP}$$

$$T \frac{1}{\sqrt{2}} \begin{pmatrix} 1 \\ i \end{pmatrix} = \frac{1}{\sqrt{2}} \begin{pmatrix} 1 \\ -1 \end{pmatrix} \quad \text{LCP} \rightarrow \boxed{\frac{\lambda}{2}} \rightarrow \text{RCP}$$

Polarization des Rödes ist fügt polarisiertes Röder.

Zähne sind rotierende Röder mit linearer Polarisierung.

Von oben gesehen alle Röder haben die Intensität abgedämpft.

Siehe, wie sie verschwinden!

Daher müssen sie röder linear polarisierte

Siehe, wie sie verschwinden! Jede vor. optische Aktivität.

Oprídly akčními lóžky se vyznačují tím, že je
v nich LCP a RCP sítí různě rychle, moží
tedy různé indexy být.

Naří. glasika

$$RCP \dots n_R = \frac{c}{m_R}$$

$$LCP \dots n_L = \frac{c}{m_L}$$

Uděláme na jednoduchém případu
 $z=0$, polarizace ve směru x

$$\begin{pmatrix} 1 \\ 0 \end{pmatrix} = \frac{1}{2} \left[\begin{pmatrix} 1 \\ -i \end{pmatrix} + \begin{pmatrix} 1 \\ +i \end{pmatrix} \right]$$

Po procházení díly d, tj. v $z=d$
je malého fáze

$$\frac{1}{2} e^{i \frac{\omega}{c} m_R d} \begin{pmatrix} 1 \\ -i \end{pmatrix} + \frac{1}{2} e^{i \frac{\omega}{c} m_L d} \begin{pmatrix} 1 \\ i \end{pmatrix}$$

$$\text{Zároveň označení} \quad \varphi = \frac{\omega}{c} \frac{m_R + m_L}{2} d$$

$$\beta = \frac{\omega}{c} \frac{m_R - m_L}{2} d$$

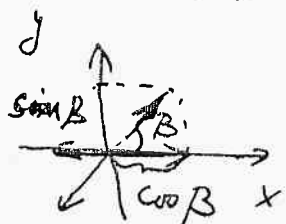
$$\frac{1}{2} e^{i\varphi} \left[e^{i\beta} \begin{pmatrix} 1 \\ -i \end{pmatrix} + e^{-i\beta} \begin{pmatrix} 1 \\ i \end{pmatrix} \right] =$$

$$= \frac{1}{2} e^{i\varphi} \begin{bmatrix} e^{i\beta} + e^{-i\beta} \\ -i(e^{i\beta} - e^{-i\beta}) \end{bmatrix} = \frac{1}{2} e^{i\varphi} \begin{pmatrix} 2 \cos \beta \\ -i(2i \sin \beta) \end{pmatrix} =$$

$$= \frac{1}{2} e^{i\varphi} \begin{pmatrix} 2 \cos \beta \\ 2 \sin \beta \end{pmatrix} = e^{i\varphi} \begin{pmatrix} \cos \beta \\ \sin \beta \end{pmatrix}$$

tj. směr rotujícího LP zařenu^{pol}, v nášem případě $\begin{pmatrix} 1 \\ 0 \end{pmatrix}$ se po výstupu z optické aktivace mostek do směru $\begin{pmatrix} \cos\beta \\ \sin\beta \end{pmatrix}$

$$\beta = \frac{\omega}{c} \left(\frac{M_A - M_L}{2} \right) \cdot d$$



Gellay' na bázi fáze $e^{i\varphi} \begin{pmatrix} \cos\beta \\ \sin\beta \end{pmatrix}$ znamená, že fáze je ve směru $\begin{pmatrix} \cos\beta \\ \sin\beta \end{pmatrix}$ dole posunuta o úhel $\varphi = \frac{\omega}{c} \left(\frac{M_A + M_L}{2} \right) \cdot d$ nači stava v bodě $Z = 0$.

V obecném případě, kdy vektor rotujícího LP zařenu má směr $\begin{pmatrix} \cos\alpha \\ \sin\alpha \end{pmatrix}$ je tento po výstupu ve směru:

$$\begin{pmatrix} \cos(\alpha+\beta) \\ \sin(\alpha+\beta) \end{pmatrix}$$

Příkladem optické aktivace mostek je glikóza (je jin levotočivá)

a křemen (je levo i pravotočivý)

Vývratí - stanovení koncentrace OA látky

$$c = \frac{100x}{d \cdot \alpha_{20}^{20.5} \cdot \alpha_0}$$

x ... koncentrace v %

d ... délka trubice (+ dm)

α_{20} ... hustota látky při $20^\circ C$

α_0 ... úhel stanov. při $20^\circ C$

Faradayho jev

Yde už základních magnetoelektrických jevů

Objeven M. Faradayem 1845

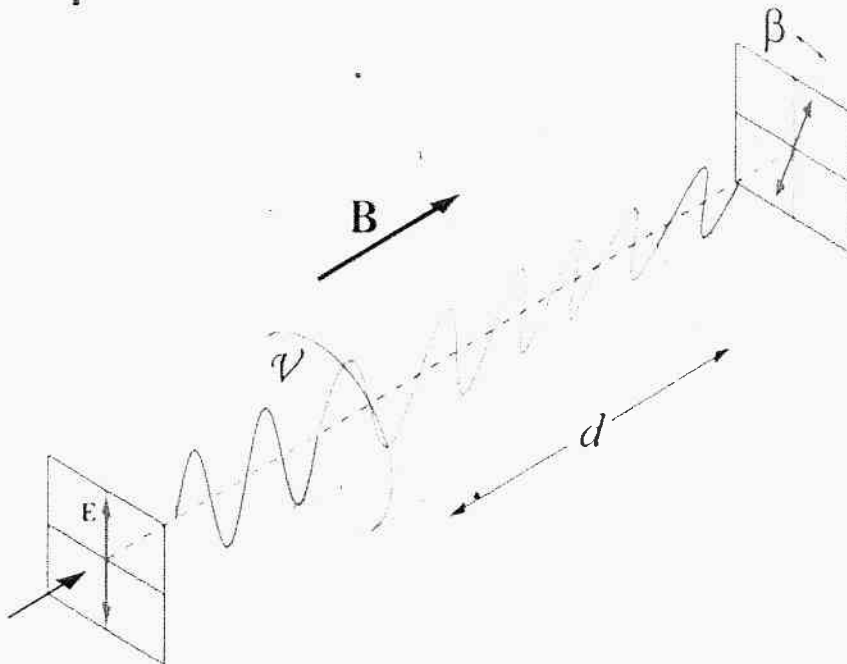
že způsobem tím, že LCP a RCP záření v průchodu magnetického pole B postupují cestou rozdílnou rychlostmi; tj. s rozdílnými indexy lomu (circularis - dichroismus)

$$B = VBd$$

B ... "hel strum"

V ... Verdetova konstanta

B ... magnetické indukce



Ruženka Záhorská Lawrence
a matice a fyzika

fol 12

Při odnosu 'J. vektoru' jde pro otocení fázového vektoru mezi někdy řešenou \vec{E} $\delta = \delta_y - \delta_x$ fázové x-osa' a y-osa' slouží dojít k závěru

$$\vec{E} = E_{\text{eff}} \begin{pmatrix} \cos \alpha \\ \sin \alpha e^{i\delta} \end{pmatrix} e^{i\omega t} \quad \alpha = \epsilon_2 - \omega t$$

čili pro speciální případ $\alpha_x = \alpha_y = \alpha_0$ a $\delta = \frac{\pi}{2}$
vede k výsledku

$$\vec{J} = \frac{1}{\sqrt{2}} \begin{pmatrix} 1 \\ i \end{pmatrix} \text{ pro LCP} \quad \text{a} \quad \vec{J} = \frac{1}{\sqrt{2}} \begin{pmatrix} 1 \\ -i \end{pmatrix} \text{ pro RCP}$$

Otočitkovy - \vec{L}_1 $\delta = \delta_x - \delta_y$, tedy je.

$$\vec{E} = E_{\text{eff}} \cdot \begin{pmatrix} \cos \alpha \\ \sin \alpha e^{-i\delta} \end{pmatrix} e^{i\omega t}$$

a

$$\vec{J} = \frac{1}{\sqrt{2}} \begin{pmatrix} 1 \\ -i \end{pmatrix} \text{ pro LCP} \quad \text{a} \quad \frac{1}{\sqrt{2}} \begin{pmatrix} 1 \\ i \end{pmatrix} \text{ pro RCP}$$

$(\alpha_x = \alpha_y = \alpha_0, \delta = \frac{\pi}{2})$

V případě fázového desférického

Inverzna matice pro $\gamma = \gamma_y - \gamma_x$

$$T = \begin{pmatrix} 1 & 0 \\ 0 & e^{i\gamma} \end{pmatrix} \quad \gamma = \frac{\pi}{2} \Rightarrow \frac{\lambda}{4}$$

$$T = \begin{pmatrix} 1 & 0 \\ 0 & i \end{pmatrix}$$

V případě obecně $\gamma = \gamma_x - \gamma_y$

(Počet)

$$\text{f: } T = \begin{pmatrix} 1 & 0 \\ 0 & e^{-i\gamma} \end{pmatrix}, \quad T = \begin{pmatrix} 1 & 0 \\ 0 & -i \end{pmatrix} \text{ pro } \gamma = \frac{\pi}{2}$$

Případ ... speciálně $\frac{\lambda}{4}$ destruující na LCP

Případ A, $\delta = \delta_y - \delta_x$
 $\gamma = \gamma_y - \gamma_x$ $\vec{J}_0 = \frac{1}{\sqrt{2}} \begin{pmatrix} 1 \\ i \end{pmatrix}$

$$T_{\frac{\lambda}{4}} = \begin{pmatrix} 1 & 0 \\ 0 & i \end{pmatrix}$$

$$T_{\frac{\lambda}{4}} \cdot \vec{J}_0 = \begin{pmatrix} 1 & 0 \\ 0 & i \end{pmatrix} \cdot \frac{1}{\sqrt{2}} \begin{pmatrix} 1 \\ i \end{pmatrix} = \frac{1}{\sqrt{2}} \begin{pmatrix} 1 \\ -1 \end{pmatrix}$$


Případ B $\delta = \delta_x - \delta_y$ $\vec{J}_0 = \frac{1}{\sqrt{2}} \begin{pmatrix} 1 \\ -i \end{pmatrix}$
 $\gamma = \gamma_x - \gamma_y$ $T_{\frac{\lambda}{4}} = \begin{pmatrix} 1 & 0 \\ 0 & -i \end{pmatrix}$

$$T_{\frac{\lambda}{4}} \cdot \vec{J}_0 = \frac{1}{\sqrt{2}} \begin{pmatrix} 1 & 0 \\ 0 & -i \end{pmatrix} \cdot \begin{pmatrix} 1 \\ -i \end{pmatrix} = \frac{1}{\sqrt{2}} \begin{pmatrix} 1 \\ -1 \end{pmatrix}$$

fj. stejně jako v případě B

Fyzikálně myšleného na zamechání konvergentních zářivých měnuž

Analogické závěry

$$\tilde{E}_x = a_x e^{i(kz - wt - \delta_x)}$$

$$\tilde{E}_y = a_y e^{i(kz - wt - \delta_y)}$$

Pro $\delta = \delta_y - \delta_x$ a $\delta = \delta_x - \delta_y$